Estudo gravimétrico do limite Cráton São Francisco - Faixa Araçuaí na região de Grão Mogol, Minas Gerais

Guilherme F. da Silva *[1], Deusavan Sales Filho [1], Mônica G. Von Huelsen [2], Amanda Almeida Rocha [1], Sidinei Sebastião Tomás [2], José O. de Araújo Filho [1], Hortência Sousa Lamblém [1]

[1] - Instituto de Geociências, Universidade de Brasília
[2] - Observatório Sismológico, Universidade de Brasília

Copyright 2012, SBGf - Sociedade Brasileira de Geofísica

Este texto foi preparado para a apresentação no V Simpósio Brasileiro de Geofísica, Salvador, 27 a 29 de novembro de 2012. Seu conteúdo foi revisado pelo Comitê Técnico do V SimBGf, mas não necessariamente representa a opinião da SBGf ou de seus associados. É proibida a reprodução total ou parcial deste material para propósitos comerciais sem prévia autorização da SBGf.

Resumo

O Complexo Porteirinha corresponde a uma porção do embasamento da faixa Araçuaí retrabalhado durante o Evento Brasiliano e é formado por gnaisses e intrusões arqueanas/paleoproterozóicas (Noce et al., 2007). Estas estão em contato tectônico com as rochas do Supergrupo Espinhaço e Grupo Macaúbas, empurradas sobre o embasamento durante a colisão do Cráton São Francisco com o Cráton do Congo. O presente trabalho pretende investigar o contato entre as rochas do Complexo Porteirinha e os metassedimentos adjacentes através do estudo gravimétrico.

Introdução

A área de estudo encontra-se inserida no contexto da Província Mantiqueira, mais precisamente no contexto da Faixa Araçuaí, definida por Almeida (1977) 400.: Fonte: Arial normal, 9. e palavras: cerca de 400.: Fonte: Arial normal, 9.

Metodologia/ Problema Investigado

Fonte: Arial normal, 9. Numero de palavras: cerca de 300.: Fonte: Arial normal, 9. Numero de palavras: cerca de 300. 300: Fonte: Arial normal, 9. Numero de palavras: cerca de 300.: Fonte: Arial normal, 9. Numero de palavras: cerca de 300.: Fonte: Arial normal, 9. Numero de palavras: cerca de 300.: Fonte: Arial normal, 9. Numero de palavras: cerca de 300.: Fonte: Arial normal, 9. Numero de palavras: cerca de 300.: Fonte: Arial normal, 9. Numero de palavras: cerca de 300.: Fonte: Arial normal, 9. Numero de palavras: cerca de 300.:

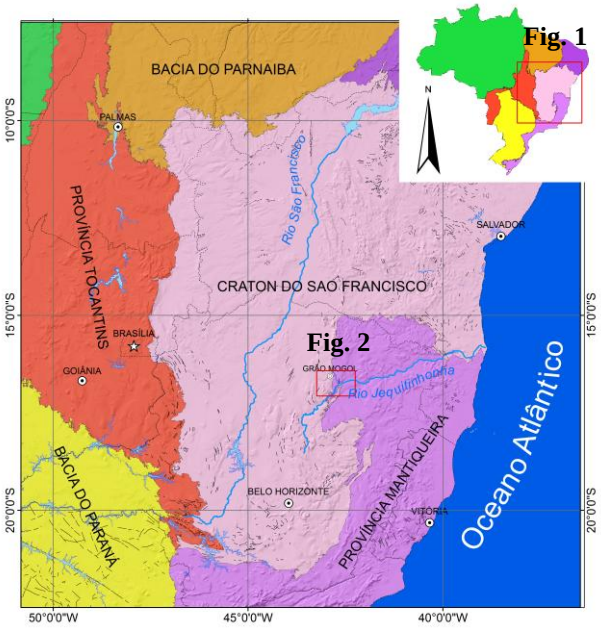

Figura 1: Contexto tectônico da área de estudo, destacada em vermelho (modificado de Bizzi, et al. 2003)

Fonte: Arial normal, 9. Numero de palavras: cerca de 300. 300: Fonte: Arial normal, 9. Numero de palavras: cerca de 300.: Fonte: Arial normal, 9. Numero de palavras: cerca de 300.: Fonte: Arial normal, 9. Numero

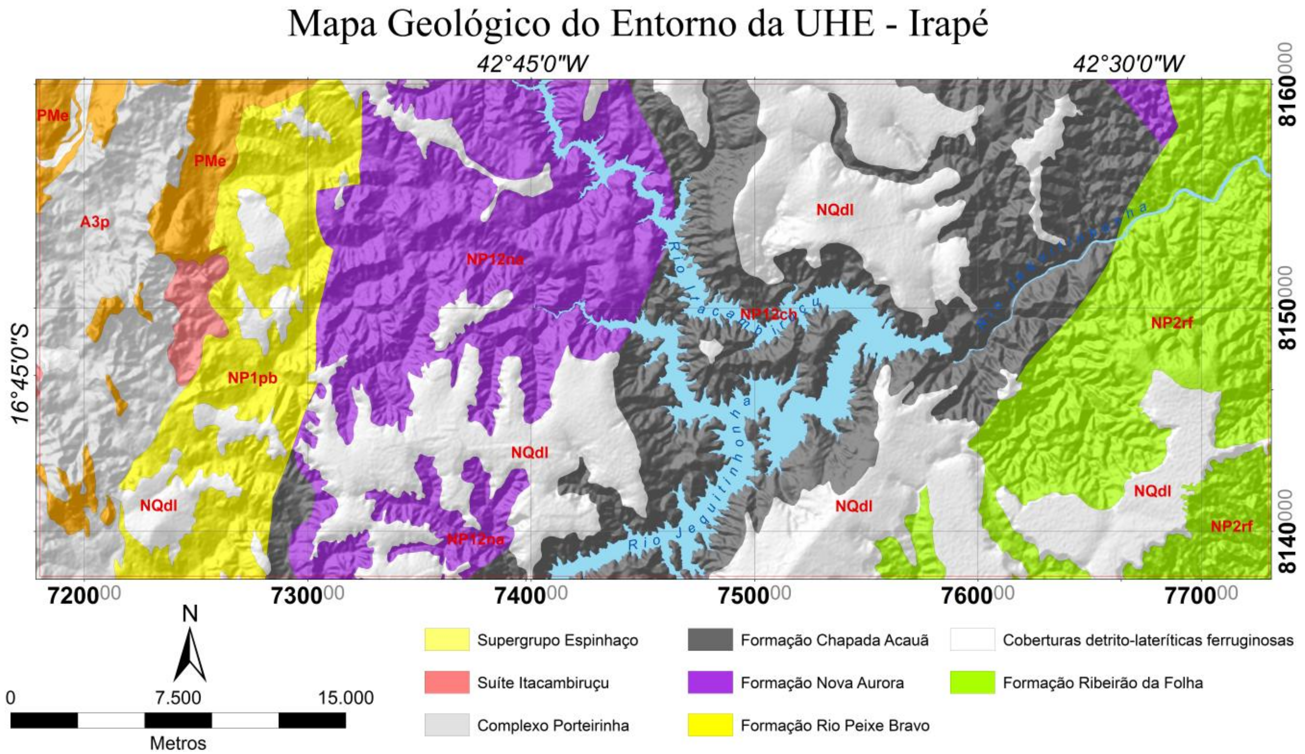

Figura 2: Mapa Geológico do Entorno da UHE Irapé fusionado com imagem de relevo sombreado da SRTM (modificado de Araújo Filho et al., 2010)

Resultados

Fonte: Arial normal, 9. Numero de palavras: cerca de 500-600.: Fonte: Arial normal, 9. Numero de palavras: cerca de 500-600. 500-600: Fonte: Arial normal, 9. Numero de palavras: cerca de 500-600.: Fonte: Arial normal, 9. Numero de palavras: cerca de 500-600.: Fonte: Arial normal, 9. Numero de palavras: cerca de 500-600.: Fonte: Arial normal, 9. Numero de palavras: cerca de 500-600.: Fonte: Arial normal, 9. Numero de palavras: cerca de 500-600.: Fonte: Arial normal, 9. Numero de palavras: cerca de 500-600.: Fonte: Arial palavras: cerca de 500-600.: Fonte: Arial normal, 9. Numero de palavras: cerca de 500-600.: Fonte: Arial normal, 9. Fonte: Arial normal, 9. Numero de palavras: cerca de 500-600.: Fonte: Arial normal, 9. Numero de palavras: cerca de 500-600. 500-600: Fonte: Arial normal, 9. Numero de palavras: cerca de 500-600.: Fonte: Arial normal, 9. Numero de palavras: cerca de 500-600.: Fonte: Arial normal, 9. Numero de palavras: cerca de 500-600.: Fonte: Arial normal, 9. Numero de palavras: cerca de 500-600.: Fonte: Arial normal, 9. Numero de palavras: cerca de 500-600.: Fonte: Arial normal, 9. Numero de palavras: cerca de 500-600.: Fonte: Arial normal, 9. Numero de palavras: cerca de 500-600.: Fonte: Arial normal, 9. Numero de palavras: cerca de 500-600.: Fonte: Arial normal, 9. Fonte: Arial normal, 9. Numero de palavras: cerca de 500-600.: Fonte: Arial normal, 9. Numero de palavras: cerca de 500-600. 500-600: Fonte: Arial normal, 9. Numero de palavras: cerca de 500-600.: Fonte: Arial normal, 9. Numero de palavras: cerca de 500-600.: Fonte: Arial normal, 9. Numero de palavras: cerca de 500-600.: Fonte: Arial normal, 9. Numero de palavras: cerca de 500-600.: Fonte: Arial normal, 9. Numero de palavras: cerca de 500-600.: Fonte: Arial normal, 9. Numero de palavras: cerca de 500-600.: Fonte: Arial normal, 9. normal, 9. Numero de palavras: cerca de 500-600.: Fonte: Arial normal, 9. Numero de palavras: cerca de 500-600.: Fonte: Arial normal, 9. Numero de palavras: cerca de 500-600.: Fonte: Arial normal, 9. Fonte: Arial normal, 9. Numero de palavras: cerca de 500-600.: Fonte: Arial normal, 9. Numero de palavras: cerca de 500-600. 500-600: Fonte: Arial normal, 9. Numero de palavras: cerca de 500-600.: Fonte: Arial normal, 9. Numero de palavras: cerca de 500-600.: Fonte: Arial normal, 9. Numero de palavras: cerca de 500-600.: Fonte: Arial normal, 9. Numero de palavras: cerca de 500-600.: Fonte: Arial normal, 9. Numero de palavras: cerca de 500-600.: Fonte: Arial normal, 9. Numero de palavras: cerca de 500-600.: Fonte: Arial normal, 9. normal, 9. Numero de palavras: cerca de 500-600.: Fonte: Arial normal, 9. Numero de palavras: cerca de 500-600.: Fonte: Arial normal, 9. Numero de palavras: cerca de 500-600.: Fonte: Arial normal, 9. Fonte: Arial normal, 9. Numero de palavras: cerca de 500-600.: Fonte: Arial normal, 9. Numero de palavras: cerca de 500-600. 500-600: Fonte: Arial normal, 9. Numero de palavras: cerca de 500-600.: Fonte: Arial normal, 9. Numero de palavras: cerca de 500-600.: Fonte: Arial normal, 9. Numero de palavras: cerca de

Discussão e Conclusões (Arial Bold, 9)

Fonte: Arial normal, 9. Numero de palavras: cerca de 300.: Fonte: Arial normal, 9. Numero de palavras: cerca de 300. 300: Fonte: Arial normal, 9. Numero de palavras: cerca de 300.: Fonte: Arial normal, 9. Numero de palavras: cerca de 300.: Fonte: Arial normal, 9. Numero de palavras: cerca de 300.: Fonte: Arial normal, 9. Numero de palavras: cerca de 300.: Fonte: Arial normal, 9. Numero de palavras: cerca de 300.: Fonte: Arial normal, 9. Numero de palavras: cerca de 300.: Fonte: Arial normal, 9. Numero de palavras: cerca de 300.: Fonte: Arial normal, 9. Numero de palavras: cerca de 300.: Fonte: Arial normal, 9. Numero de palavras: cerca de 300.: Fonte: Arial normal, 9. Numero de palavras: cerca de 300. 300: Fonte: Arial normal, 9. Numero de palavras: cerca de 300.: Fonte: Arial normal, 9. Numero de palavras: cerca de 300.: Fonte: Arial normal, 9. Numero de palavras: cerca de 300.: Fonte: Arial normal, 9. Numero de palavras: cerca de 300.: Fonte: Arial normal, 9. Numero de palavras: cerca de 300.: Fonte: Arial normal, 9. Numero de palavras: cerca de 300.: Fonte: Arial normal, 9. Numero de palavras: cerca de 300.: Fonte: Arial normal, 9. Numero de palavras: cerca de 300.: Fonte: Arial normal, 9. Numero de palavras: cerca de 300.: Fonte: Arial normal, 9. Numero de palavras: cerca de 300.: Fonte: Arial normal, 9. Numero de palavras: cerca de 300.: Fonte: Arial normal, 9. Numero de palavras: cerca de 300.: Fonte: Arial normal, 9. Numero de palavras: cerca de 300. 300: Fonte: Arial normal, 9. Numero de palavras: cerca de 300.: Fonte: Arial normal, 9. Numero de palavras: cerca de 300.: Fonte: Arial normal, 9.

figura

Figura 3 – Legenda legenda legenda

Numero de palavras: cerca de 400.: Fonte: Arial normal, 9. Numero de palavras: cerca de 400.: Fonte: Arial normal, 9. Numero de palavras: cerca de 400.: Fonte: Arial normal, 9. Numero de palavras: cerca de 400.: Fonte: Arial normal, 9.

Agradecimentos

Os autores agradecem ao Conselho Nacional de Desenvolvimento Científico e Tecnológico - CNPq (pelo auxílio financeiro e aprovação do projeto de pesquisa) e ao Observatório Sismológico da Universidade de Brasília pelo suporte e logística para as atividades de campo.

Referências (Arial Bold, 9) Veja normas da RBGf

Almeida, F. F. M. de, 1969. Diferenciação tectônica da Plataforma Brasileira (Tectonic differentiation of the Brazilian Platform). Proceedings 33rd. Brazilian Geological Congress, Salvador(BA), Brazil, vol. 1: 29-46.

Arora et al. (06 co-authors), 1999. 2D geoelectrical model for the Parnaíba conductivity anomaly, north-northeast Brazil and its tectonic implications. Tectonophysics, 302: 57-69.

Bott, M. H. P., 1982. Stress based tectonic mechanisms at passive continental margins. In: Scrutton, R. A. (Ed.), Dynamics of Passive Margins. AGU Geodynamic Series, Washington (DC), USA, vol. 6: 147-153.

Chandler, V. W., Kiski, H. S., Hinze, W. J. & Braile, L. W., 1981. Analysis of multisource gravity and magnetic anomaly data sets by moving-window applications of Poisson's theorem. Geophysics, 46: 30-39.

Figueiredo, M. C. H., 1980. Geochemistry of high-grade metamorphic rocks, Northeastern Bahia, Brazil. Ph. D. Thesis, Department of Geology of the University of Western Ontario, Canada.

Turner, F. J. & Werhoogen, J., 1960. Igneous and metamorphic petrology. 2nd ed., McGraw Hill, New York, USA.

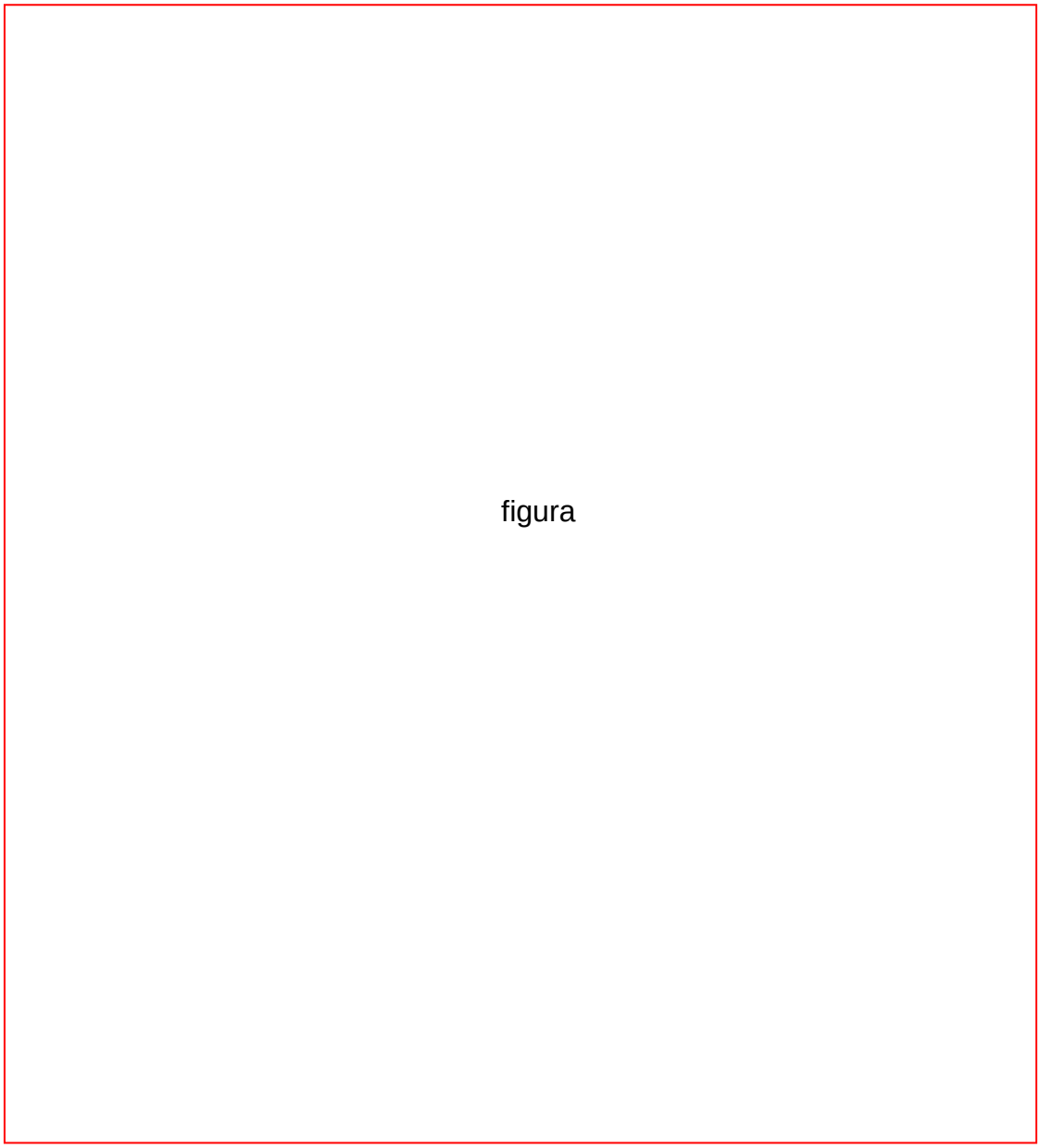

Figura 4 - Qqwertqwertqwertqwertqwertqwertqwertqwertqwertqwertqwertqwertqwert.